

2023~2024 学年度上期期末高一年级调研考试

地 理

本试卷分选择题和非选择题两部分。第 I 卷(选择题)1 至 6 页, 第 II 卷(非选择题)7 至 8 页, 共 8 页, 满分 100 分, 考试时间 90 分钟。

注意事项:

1. 答题前, 务必将自己的姓名、考籍号填写在答题卡规定的位置上。
2. 答选择题时, 必须使用 2B 铅笔将答题卡上对应题目的答案标号涂黑, 如需改动, 用橡皮擦擦干净后, 再选涂其它答案标号。
3. 答非选择题时, 必须使用 0.5 毫米黑色签字笔, 将答案书写在答题卡规定的位置上。
4. 所有题目必须在答题卡上作答, 在试题卷上答题无效。
5. 考试结束后, 只将答题卡交回。

第 I 卷(选择题, 共 60 分)

一、选择题(本卷共有 30 小题, 每小题 2 分, 共 60 分。在每小题的四个选项中, 只有一项是符合题目要求的。)

2023 年 4 月, 我国发布了火星全球影像图, 该图由天问一号火星环绕器拍摄的 14757 幅影像图合成。图 1 为天问一号火星环绕器效果图。据此完成 1~3 题。



图 1

1. 与火星级别相同的天体是
A. 猎户座星云 B. 月球 C. 太阳 D. 地球
2. 天问一号环绕器获取火星地表影像使用的主要地理信息技术是
A. 北斗卫星导航系统 B. 遥感技术
C. 地理信息系统 D. 全球定位系统
3. 火星表面不具有适宜人类生存的温度, 其主要原因是
A. 体积较小 B. 质量较轻 C. 距太阳较远 D. 大气层较厚

太阳黑子数量具有周期性变化，活动周期为相邻两个波峰或者波谷的间隔时间。图2为2006—2028年太阳黑子数量的变化(2023年之后为预测值)。据此完成4~6题。

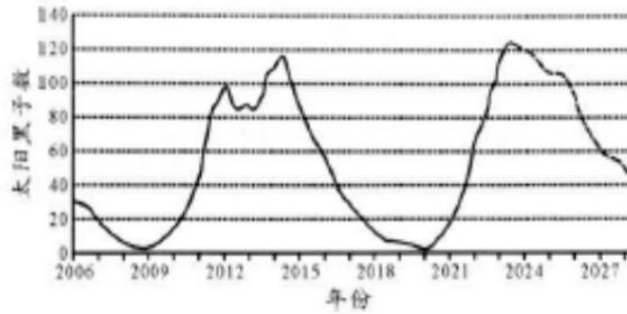


图 2

4. 太阳黑子实质是

- A. 色球层上的相对高温区
- B. 光球层上的相对低温区
- C. 日冕层上的物质抛射区
- D. 日珥喷射气体的区域

5. 与2020年相比,2023年地球上

- ①极光现象增加
- ②电网受冲击强度较弱
- ③磁暴现象减少
- ④航空电子设备受辐射影响较强

- A. ①③
- B. ②④
- C. ①④
- D. ②③

6. 推测下一次太阳黑子数量谷值可能出现在

- A. 2020年
- B. 2031年
- C. 2042年
- D. 2053年

在沉积岩形成过程中有些生物的遗体或遗迹会在沉积岩中保存下来，形成化石。越古老的地层含有越低级、越简单的生物化石。图3为某地不同地层的四幅化石景观图。据此完成7~8题。



图 3

7. 按生物进化顺序对四幅图进行排序，正确的是

- A. ①②③④
- B. ②①③④
- C. ③①②④
- D. ④③②①

8. 按地层形成时间顺序判断，四类化石埋藏最深的是

- A. ①
- B. ②
- C. ③
- D. ④

2023年2月6日，连续两次里氏7.8级、震源深度20千米的强烈地震袭击了土耳其南部的高原地区，造成了重大人员伤亡和环境破坏。图4示意地球内部地震波传播速度与圈层结构。据此完成9~10题。

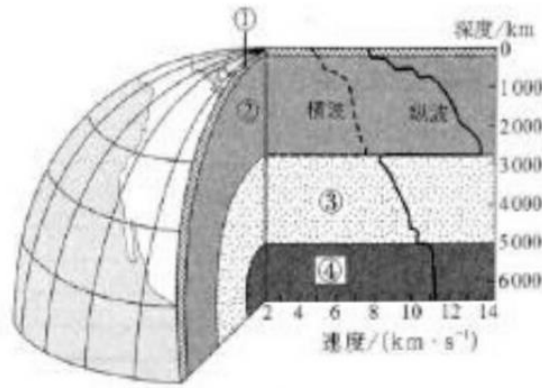


图 4

9. 此次地震震源位于图中

- A. ①圈层 B. ②圈层 C. ③圈层 D. ④圈层

10. 此次地震灾区

- A. 只受纵波影响 B. 先受横波影响、后受纵波影响
C. 只受横波影响 D. 先受纵波影响、后受横波影响

图 5 是某气象灾害的卫星影像图，图中白色部分为云层。据此完成 11~12 题。

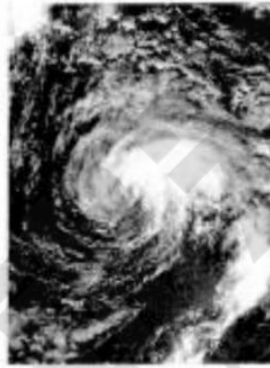


图 5

11. 该气象灾害是

- A. 洪涝 B. 台风 C. 干旱 D. 寒潮

12. 我国受该气象灾害影响最严重的地区是

- A. 东北地区 B. 华北地区 C. 东南沿海地区 D. 西北内陆地区

2023 年 11 月，宁波大学生用氦气球将玩具熊送上 28 千米高空的视频在网上引发了热议(图 6)。图 7 为大气垂直分层示意图。据此完成 13~14 题。



图 6

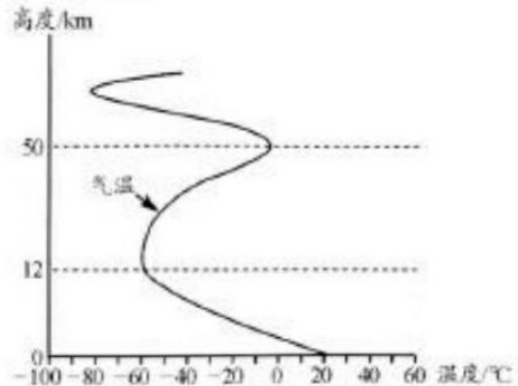


图 7

13. 玩具熊上升过程中周围环境的气温变化趋势是
- A. 先升高后降低
 - B. 先升高后降低再升高
 - C. 先降低后升高
 - D. 先降低后升高再降低

14. 放飞玩具熊的行为最可能带来的影响是
- A. 危及飞行器安全
 - B. 污染大气
 - C. 干扰无线电通信
 - D. 干扰地面交通

图 8 为 2016 年 11 月 9 日 6 时我国局部海平面气压分布图。据此完成 15~16 题。

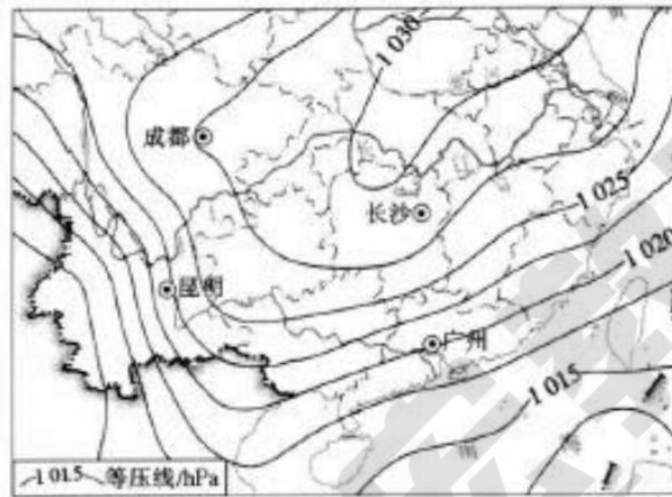


图 8

15. 图中四个城市风速最大的是
- A. 成都
 - B. 昆明
 - C. 长沙
 - D. 广州
16. 此时广州的风向为
- A. 偏东风
 - B. 偏南风
 - C. 偏西风
 - D. 偏北风

图 9 示意大洋表层海水密度、盐度、温度随纬度变化。据此完成 17~19 题。

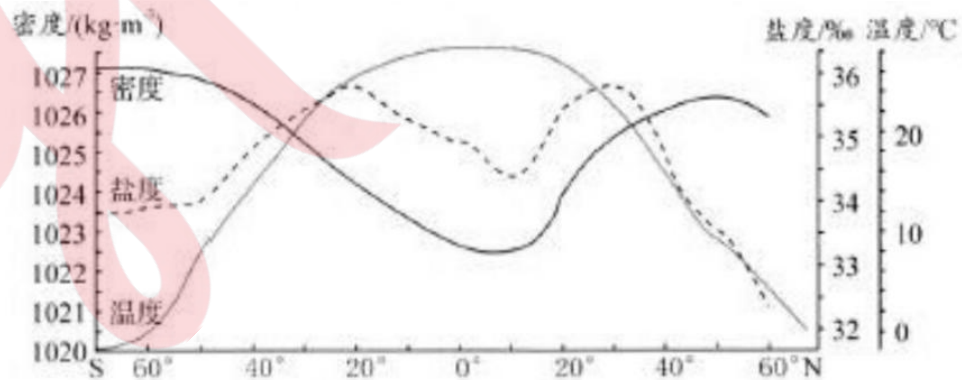


图 9

17. 图中 60°S 较赤道地区表层海水
- A. 盐度低、密度小
 - B. 盐度低、密度大
 - C. 盐度高、密度大
 - D. 盐度高、密度小

18. 与高纬度海区相比，导致低纬度海区表层温度更高的主要因素是

- A. 太阳辐射 B. 海水蒸发 C. 大气运动 D. 海水运动

19. 下列人类活动受海水温度影响最大的是

- A. 海水制盐厂选址 B. 潜艇航行线路选择
C. 潮汐发电站运行 D. 海滨浴场开放时间

洋流对海洋生物资源和渔场的分布有显著的影响。图 10 为北太平洋局部海域洋流分布图。据此完成 20~22 题。

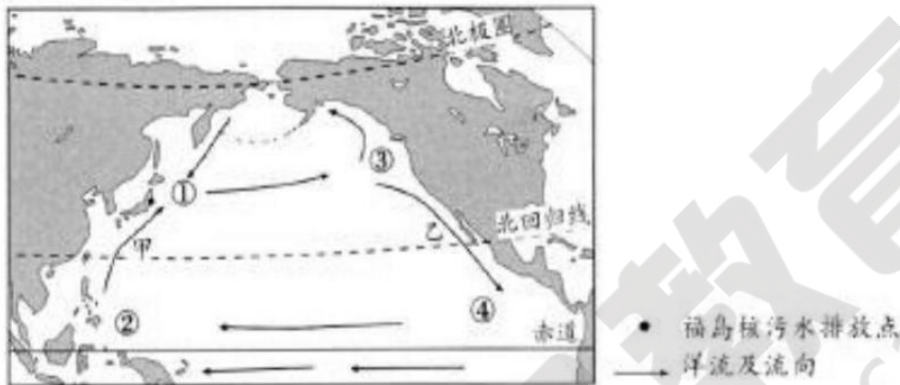


图 10

20. 按海水温度分类，甲、乙洋流分别为

- A. 寒流、暖流 B. 寒流、寒流 C. 暖流、暖流 D. 暖流、寒流

21. ①②③④海域中，最容易形成大规模渔场的是

- A. ① B. ② C. ③ D. ④

22. 洋流对日本福岛核污水的影响，主要有

- ①扩大污染范围 ②降低沿岸海域核污水浓度
③减少污染物总量 ④改变污染物性质

- A. ①② B. ②③ C. ③④ D. ①④

图 11 为某地等高线图。据此完成 23~25 题。

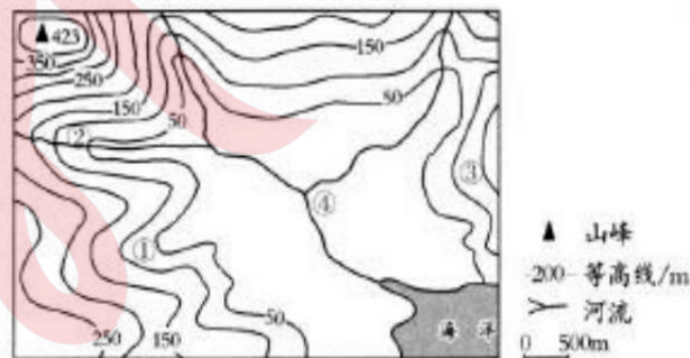


图 11

23. 图中山峰与入海口的相对高度可能是

- A. 423 米 B. 373 米 C. 323 米 D. 273 米

24. 图中①②③④处，最可能发展种植业的是

- A. ① B. ② C. ③ D. ④

25. 图中①②③④处，最可能分布有村落的是

- A. ① B. ② C. ③ D. ④

骆驼刺是一种落叶灌木，其典型特征是根系发达、叶片细小(图 12)。据此完成 26~28 题。



图 12

26. 影响骆驼刺形态和结构的主要因素是

- A. 地形 B. 光照 C. 水热 D. 土壤

27. 推测骆驼刺的生长习性为

- ①喜高温 ②耐干旱 ③抗风沙 ④需沃土
A. ①② B. ②③ C. ③④ D. ①④

28. 骆驼刺最可能广泛分布于我国

- A. 西北地区 B. 北方地区 C. 青藏地区 D. 南方地区

广泛分布于四川盆地的紫色土是在紫色或紫红色砂岩、页岩岩层上发育而成的土壤。图 13 为四川盆地某地景观。据此完成 29~30 题。



图 13

29. 影响紫色土颜色的最大因素是

- A. 成土母质 B. 生物 C. 气候 D. 地貌

30. 与乙地相比，甲地的土壤

- A. 土层较厚 B. 颗粒较粗 C. 肥力较高 D. 湿度较大

第II卷(非选择题，共40分)

二、非选择题(本卷共4小题，共40分。)

31. 阅读图文材料，完成下列要求。(8分)

太阳辐射能量巨大，是地球光和热的主要源泉，也为我们生产、生活提供能量。地球上不同纬度地带接受的太阳辐射能不同，使得许多自然地理现象呈现纬度地带的差异。图14为北半球大气上界太阳辐射分布图。

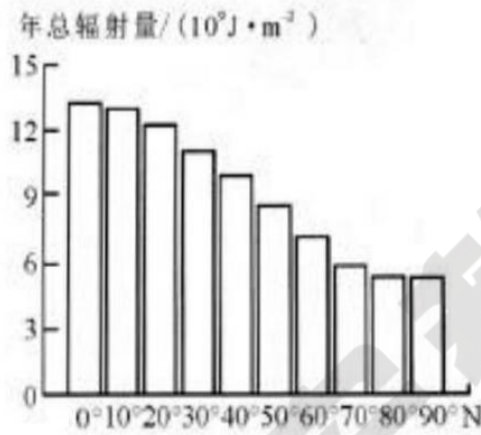


图 14

(1) 太阳源源不断的以_的形式向宇宙空间放射能量，这种现象称为太阳辐射。(1分)

(2) 北半球大气上界年太阳辐射总量的分布特点是从_向_递减。与大气上界的太阳辐射量相比，到达地面的太阳辐射量较_，主要原因是大气对太阳辐射有_作用。(4分)

(3) 列举三种在日常生产、生活中人们利用太阳辐射能的方式。(3分)

32. 阅读图文材料，完成下列要求。(10分)

图15分别示意大气受热过程及成都市2023年连续两日天气状况。

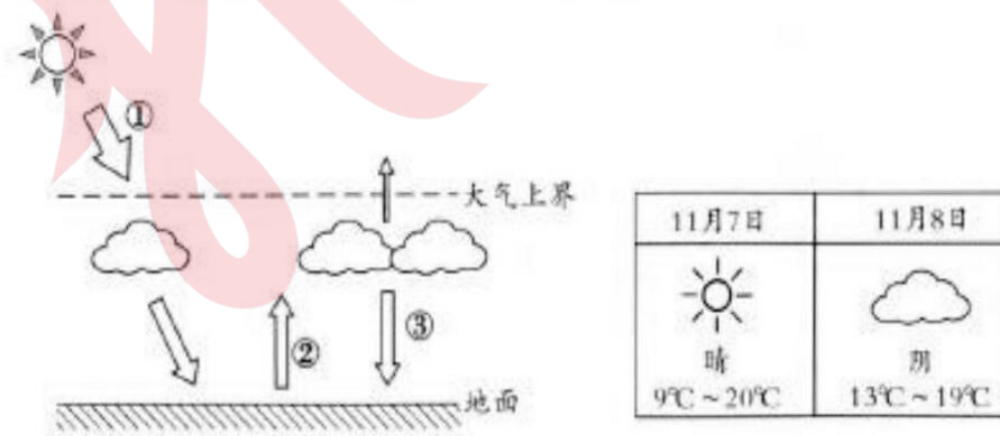


图 15

(1) 图中数字①②③分别对应大气受热过程中的：_、_、_。(3分)

(2) 近地面大气主要的、直接的热源是_____，该辐射中的绝大部分被近地面大气中的_____、_____等吸收，从而使大气增温。(3分)

(3) 与11月7日相比，11月8日成都市气温日较差较_____，其原因是_____。
_____。(4分)

33. 图 16 为水循环示意图。读图，完成下列要求。(12分)

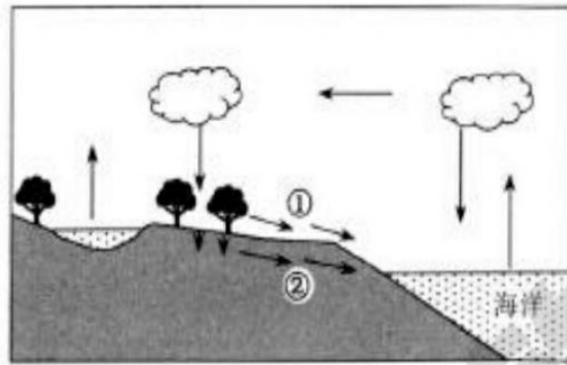


图 16

(1) 海水经过蒸发变成水汽，经过水循环后又回归海洋。观察图 16 中海水的回归路径，依次写出各环节的名称。(6分)

(2) 海水回归过程中联系的圈层有_____、_____、_____、_____。(4分)

(3) 图中植被覆盖率的提升对①②环节水量的影响是_____。(2分)

34. 图 17 为三种典型地貌景观图。阅读图文材料，完成下列要求。(10分)



图 17

(1) 从河流地貌类型上看，甲图是_____，该处沉积物颗粒较_____，适宜农耕。甲图河谷呈现出_____（“V”形/槽形）。(3分)

(2) 乙图海岸地貌是因海水_____作用形成。该地貌继续发展后，可能会形成_____、_____等海岸地貌。(3分)

(3) 读图丙，简述牛轭湖的成因。(4分)